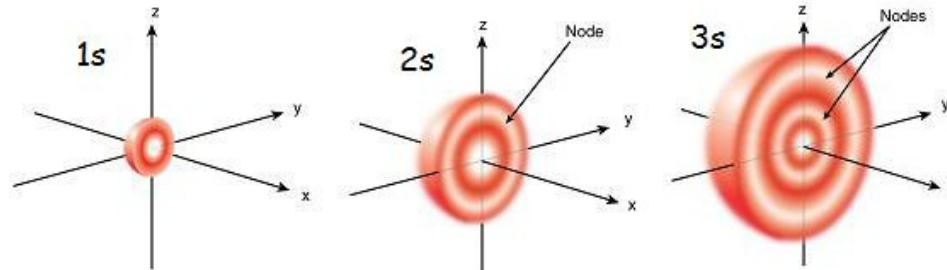


Capítulo 5

A interação de luz e matéria



5.1 Linhas espectrais

5.2 Fótons e a Dualidade Partícula-onda

5.3 O modelo do átomo de Bohr

5.4 Mecânica Quântica

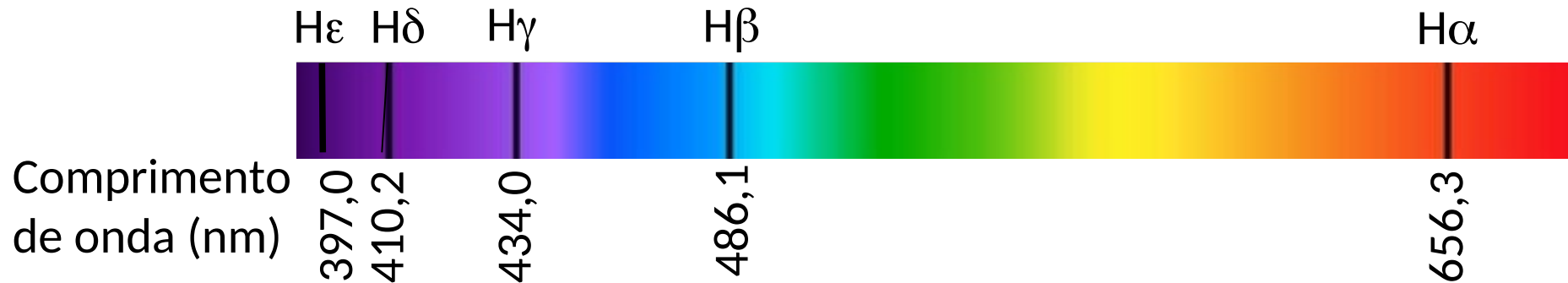
$$\Delta x \Delta p \geq \frac{1}{2} \hbar$$



Slides pela Profa. Jane Gregorio-Hetem e Prof. Jorge Meléndez

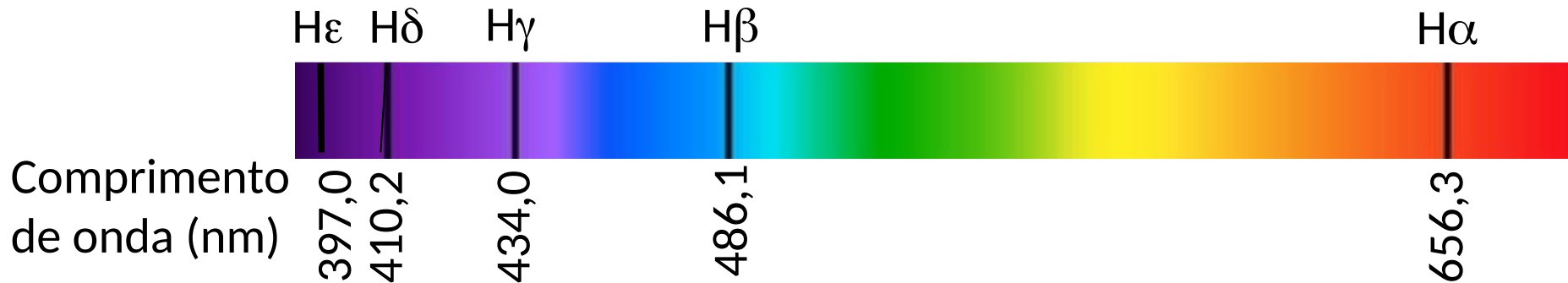
A série de Balmer das linhas de H

A finais dos anos 1800, existiam diversas medidas dos comprimentos de onda (λ) das linhas de hidrogênio



A série de Balmer das linhas de H

A finais dos anos 1800, existiam diversas medidas dos comprimentos de onda (λ) das linhas de hidrogênio



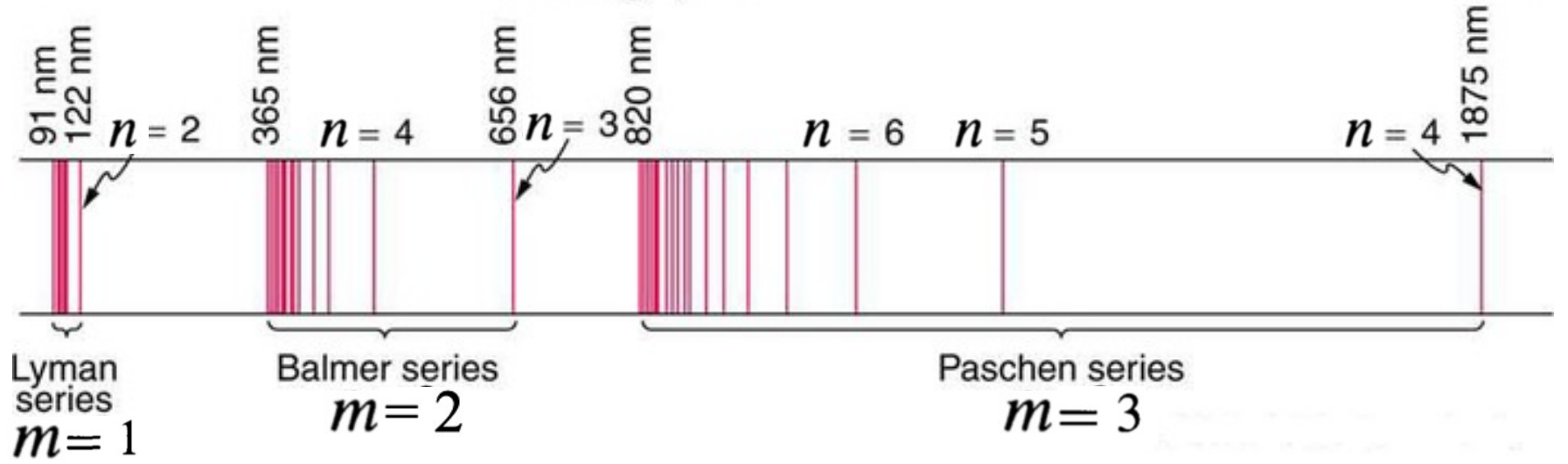
Johann Balmer (1885) descobriu empiricamente como reproduzir o λ das linhas do hidrogênio:

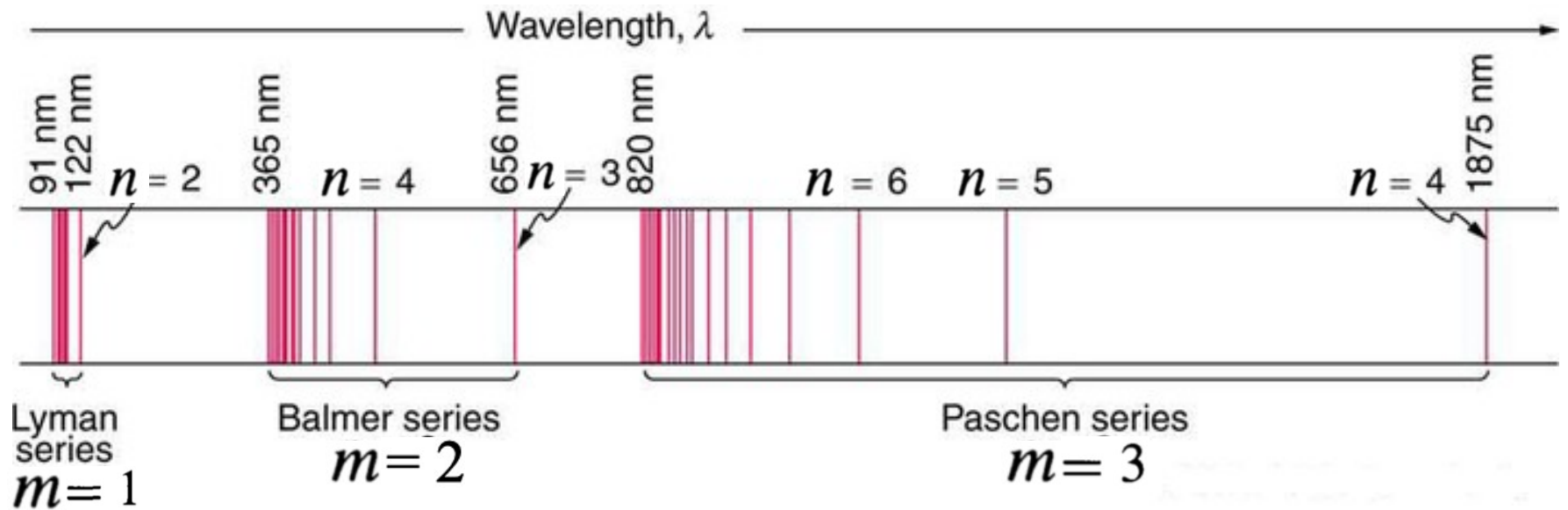
$$\frac{1}{\lambda} = R_H \left(\frac{1}{4} - \frac{1}{n^2} \right)$$

$$n = 3, 4, 5, \dots$$

$$R_H = 1,09677583 \times 10^7 \text{ m}^{-1}$$

Wavelength, λ



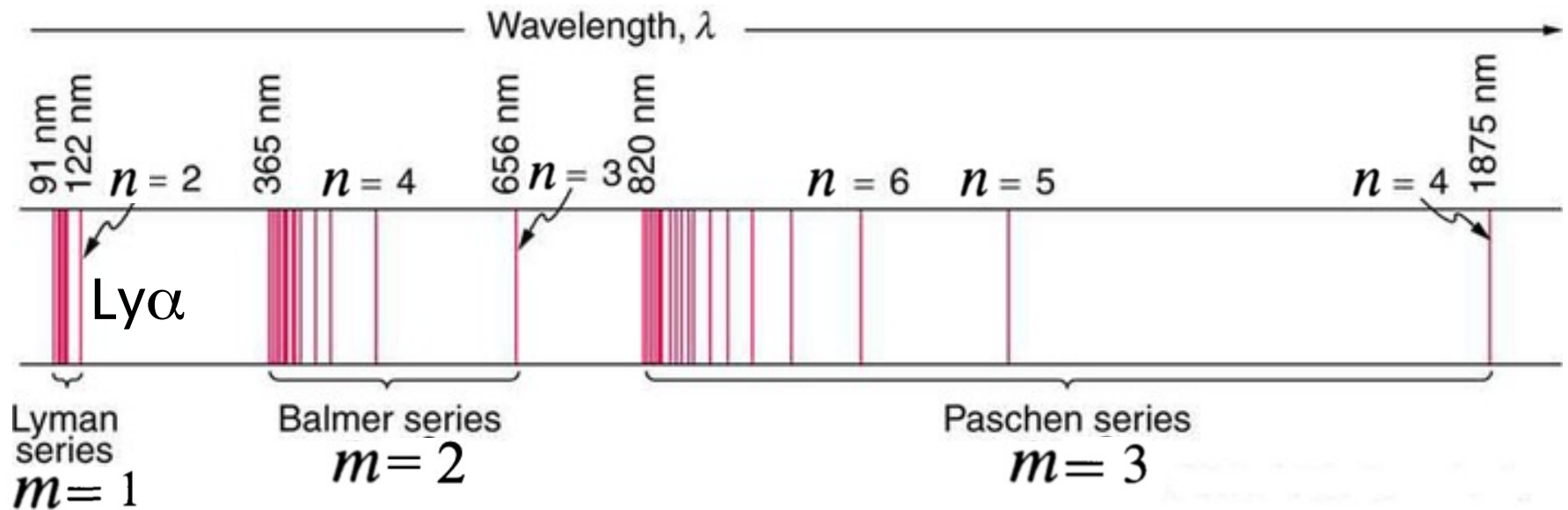


Rydberg (1888),
fórmula geral para as
linhas do hidrogênio:

$$\frac{1}{\lambda} = R_H \left(\frac{1}{m^2} - \frac{1}{n^2} \right) \quad n = 2, 3, 4, \dots$$

$e \ n > m$

$$R_H = 1,09677583 \times 10^7 \text{ m}^{-1}$$



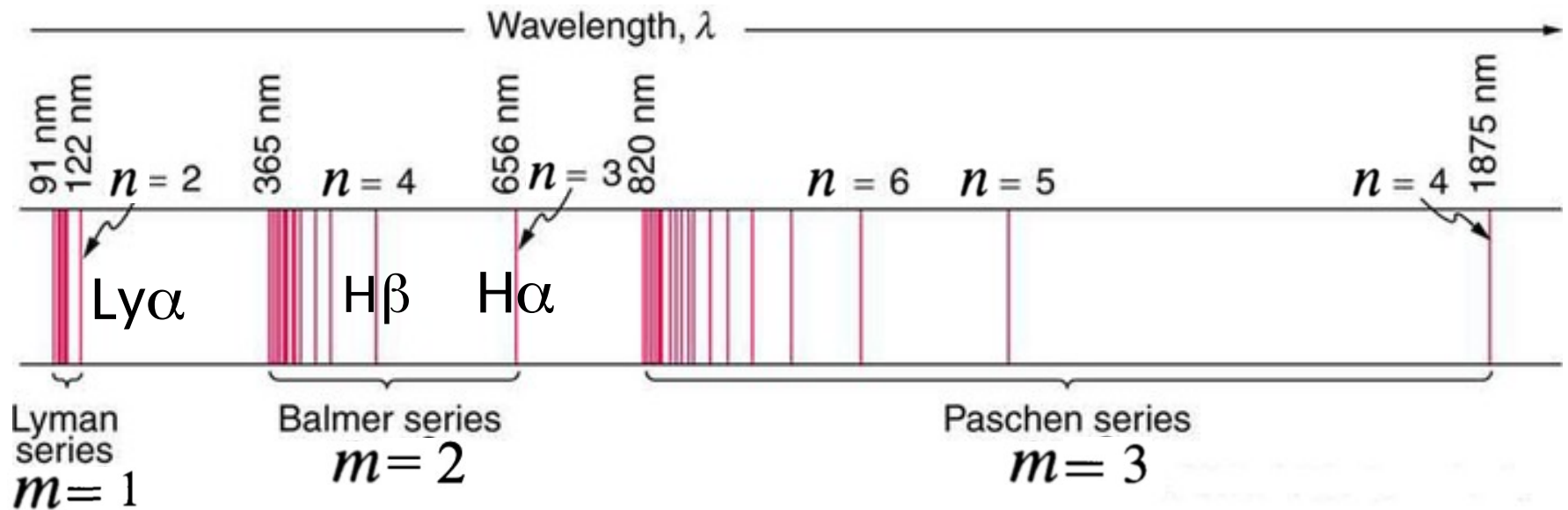
Rydberg (1888),
fórmula geral para as
linhas do hidrogênio:

$$\frac{1}{\lambda} = R_H \left(\frac{1}{m^2} - \frac{1}{n^2} \right) \quad n = 2, 3, 4, \dots$$

$e \ n > m$

Série a partir do qual se dá a transição: $R_H = 1,09677583 \times 10^7 \text{ m}^{-1}$

$m = 1$: série de **Lyman**, denominadas Ly α , Ly β , Ly γ (**linhas do UV**);



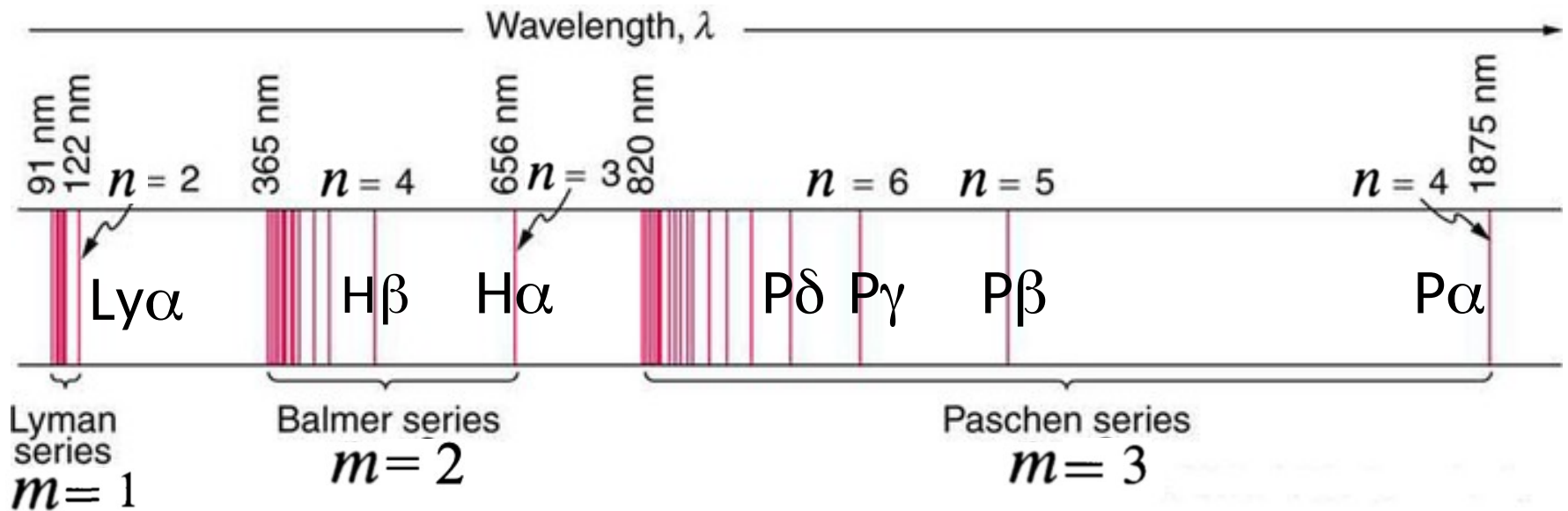
Rydberg (1888),
fórmula geral para as
linhas do hidrogênio:

$$\frac{1}{\lambda} = R_H \left(\frac{1}{m^2} - \frac{1}{n^2} \right) \quad n = 2, 3, 4, \dots$$

$e \ n > m$

Série a partir do qual se dá a transição: $R_H = 1,09677583 \times 10^7 \text{ m}^{-1}$

- $m = 1$: série de **Lyman**, denominadas Ly α , Ly β , Ly γ (**linhas do UV**);
- $m = 2$: série de **Balmer**: H α , H β , H γ , ... (**espectro visível**);



Rydberg (1888),
fórmula geral para as
linhas do hidrogênio:

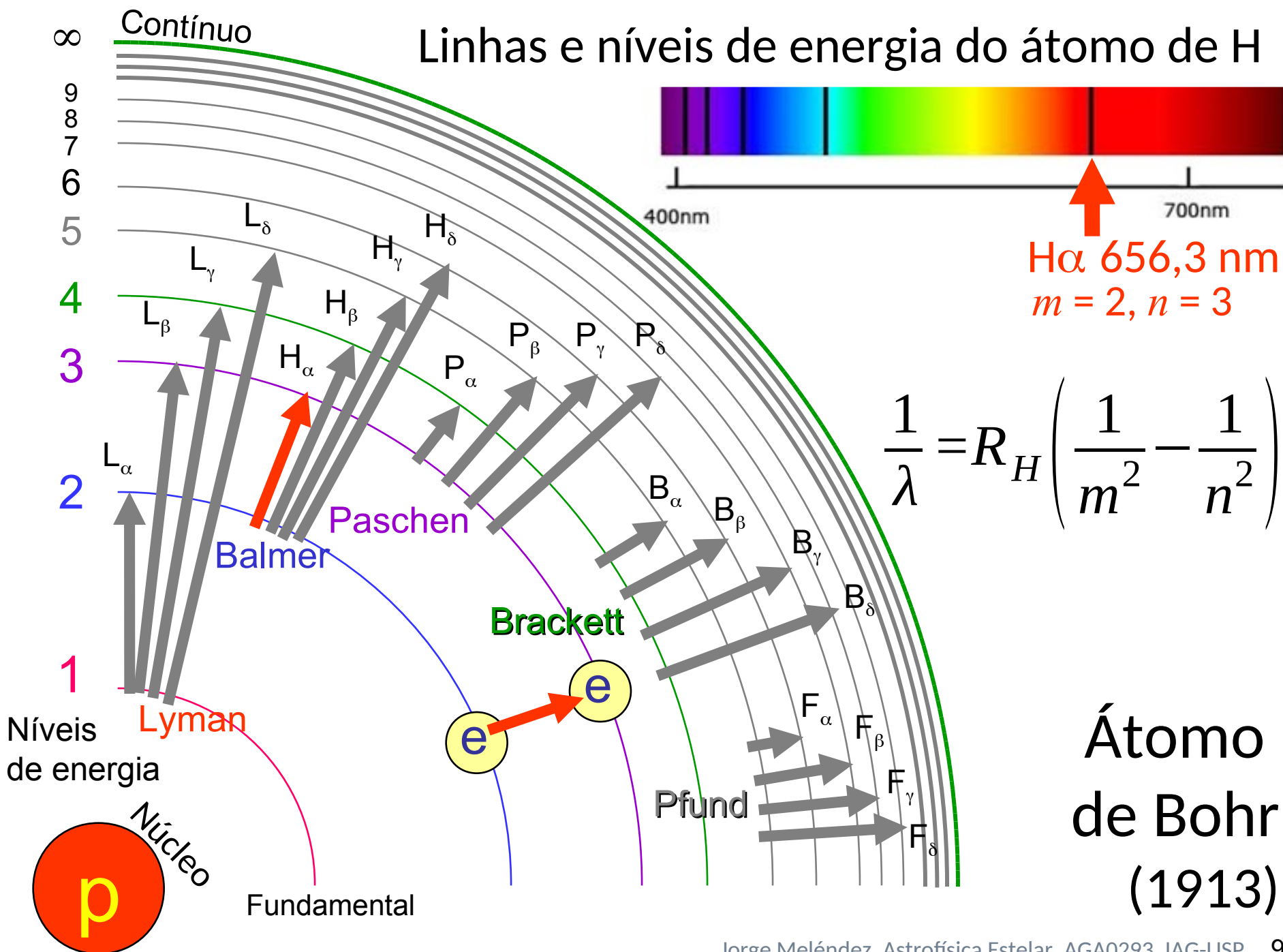
$$\frac{1}{\lambda} = R_H \left(\frac{1}{m^2} - \frac{1}{n^2} \right) \quad n = 2, 3, 4, \dots$$

$e \ n > m$

Série a partir do qual se dá a transição: $R_H = 1,09677583 \times 10^7 \text{ m}^{-1}$

- $m = 1$: série de **Lyman**, denominadas Ly α , Ly β , Ly γ (**linhas do UV**);
- $m = 2$: série de **Balmer**: H α , H β , H γ , ... (**espectro visível**);
- $m = 3$: série de **Paschen**, denominadas P α , P β , ... (**infravermelho**).

Linhas e níveis de energia do átomo de H



O modelo do átomo de Rutherford, do elétron em órbita circular clássica, não é viável, pois uma carga em movimento acelerado emite radiação, perdendo energia e acabando por cair no núcleo.

O modelo do átomo de Rutherford, do elétron em órbita circular clássica, não é viável, pois uma carga em movimento acelerado emite radiação, perdendo energia e acabando por cair no núcleo.

Niels Bohr
(1885 - 1962)



O modelo de Bohr (1913) resolve o problema. Só órbitas discretas são permitidas onde o elétron não emite radiação. São **órbitas definidas** para valores discretos do **momento angular**:

$$m v r = n \frac{h}{2\pi} = n \hbar$$

$$n = 1, 2, 3, \dots$$

$$\frac{h}{2\pi} = \hbar = 1,054571596 \times 10^{-34} \text{ J s}$$

m é a massa do elétron; **r** o raio do movimento circular com velocidade **v**, em torno do núcleo.

Para avaliar o movimento do sistema elétron-próton, utilizamos a lei de Coulomb → atração elétrica entre duas cargas q_1 e q_2

separadas por distância r :

$$\vec{F} = \frac{1}{4\pi \epsilon_0} \frac{q_1 q_2}{r^2} \hat{r}$$

onde $\epsilon_0 = 8,854187817 \times 10^{-12} \text{ F m}^{-1}$ (permissividade elétrica) [farads/m]

Considere o elétron e o próton, de massas m_e e m_p , e cargas e^- e e^+ , girando em torno de um centro de massa comum. A massa reduzida será:

$$\mu = \frac{m_e m_p}{m_e + m_p} = \frac{(m_e)(1836.15266 m_e)}{m_e + 1836.15266 m_e} = 0,999455679 m_e$$

e a massa total $M = m_e + m_p = m_e + 1836,15266 m_e = 1,0005446 m_p$

Como $M \approx m_p$ e $\mu \approx m_e$, podemos considerar sistema composto de próton de massa M em repouso e elétron de massa μ

Da segunda lei de Newton, $\vec{F} = \mu \vec{a}$

a aceleração centrípeta: $\vec{a} = \frac{v^2}{r} \hat{r}$

implica em:

$$\frac{1}{4\pi \epsilon_0} \frac{q_1 q_2}{r^2} \hat{r} = -\mu \frac{v^2}{r} \hat{r} \quad \Rightarrow \quad -\frac{1}{4\pi \epsilon_0} \frac{e^2}{r^2} \hat{r} = -\mu \frac{v^2}{r} \hat{r}$$

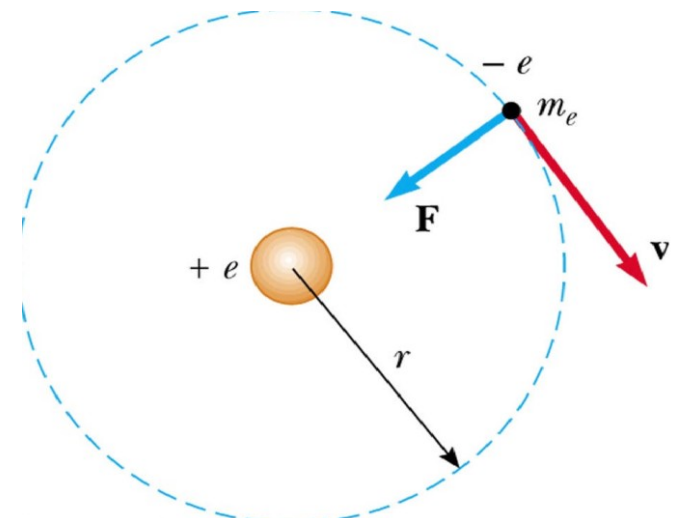
Então a energia cinética:

$$K = \frac{1}{2} \mu v^2 = \frac{1}{8\pi \epsilon_0} \frac{e^2}{r}$$

e a energia potencial será:

$$U = -G \frac{Mm}{r} \quad (2.14)$$

$$U = -\frac{1}{4\pi \epsilon_0} \frac{e^2}{r} = -2K$$



A energia total do átomo será:

$$E = K + U = K - 2K = -K = -\frac{1}{8\pi\epsilon_0} \frac{e^2}{r}$$

Usando a quantização do momento angular: $L = \mu v r = n\hbar$

A expressão da energia cinética pode ser reescrita:

$$\frac{1}{8\pi\epsilon_0} \frac{e^2}{r} = \frac{1}{2} \mu v^2 = \frac{1}{2} \frac{(\mu v r)^2}{\mu r^2} = \frac{1}{2} \frac{(n\hbar)^2}{\mu r^2}$$

$$\rightarrow r_n = \frac{4\pi\epsilon_0 \hbar^2}{\mu e^2} n^2 = a_0 n^2$$

ou seja, **apenas algumas órbitas são possíveis** (em função de n^2)

onde $a_0 = 5,291772083 \times 10^{-11} \text{ m} = 0,0529 \text{ nm}$ é o raio de Bohr

- A energia do elétron na órbita n pode ser obtida

inserindo o raio r :
$$r_n = \frac{4\pi\epsilon_0 \hbar^2}{\mu e^2} n^2 \quad E = -\frac{1}{8\pi\epsilon_0} \frac{e^2}{r}$$

$$E_n = -\frac{\mu e^4}{32\pi^2 \epsilon_0^2 \hbar^2} \frac{1}{n^2} = -13,6 \frac{1}{n^2} \text{ eV}$$

- O sistema é considerado ligado enquanto a energia do nível for $E_n < 0$.
- À medida que $n \rightarrow \infty$, $E \rightarrow 0$

Quando $E > 0$, o elétron **não fica ligado** ao núcleo.

 estado ionizado

$$E_n = -\frac{\mu e^4}{32\pi^2 \epsilon_0^2 \hbar^2} \frac{1}{n^2} = -13.6 \text{ eV} \frac{1}{n^2}$$

$$E_{\text{photon}} = E_{\text{high}} - E_{\text{low}}$$

$$E_{\text{fóton}} = h\nu = \frac{hc}{\lambda} = \left(-\frac{\mu e^4}{32\pi^2 \epsilon_0^2 \hbar^2} \frac{1}{n_2^2} \right) - \left(-\frac{\mu e^4}{32\pi^2 \epsilon_0^2 \hbar^2} \frac{1}{n_1^2} \right)$$

$$\frac{1}{\lambda} = \frac{\mu e^4}{64\pi^3 \epsilon_0^2 \hbar^3} \left(\frac{1}{n_1^2} - \frac{1}{n_2^2} \right)$$

Fórmula de Balmer/Rydberg:

$$\frac{1}{\lambda} = R_H \left(\frac{1}{m^2} - \frac{1}{n^2} \right)$$

Comparando com a expressão de Rydberg para linhas de H, temos a constante de Rydberg para o hidrogênio:

$$R_H = \frac{\mu e^4}{64\pi^3 \epsilon_0^2 \hbar^3} = 10967758,3 \text{ m}^{-1}$$

Exemplo: Cálculo do comprimento de onda da linha H α

Qual é o λ do **fóton emitido** quando um elétron do átomo de H passa por uma transição da órbita $n = 3$ para $n = 2$?

$$E_n = -13,6 \frac{1}{n^2} \quad \Delta E = \frac{hc}{\lambda} = -13,6 \left(\frac{1}{3^2} - \frac{1}{2^2} \right) \text{ eV}$$
$$\Delta E = E_3 - E_2:$$

Levando a $\lambda = 656,469$ nm no vácuo, que é 0,03% discrepante do valor medido no ar: $\lambda = 656,281$ nm.

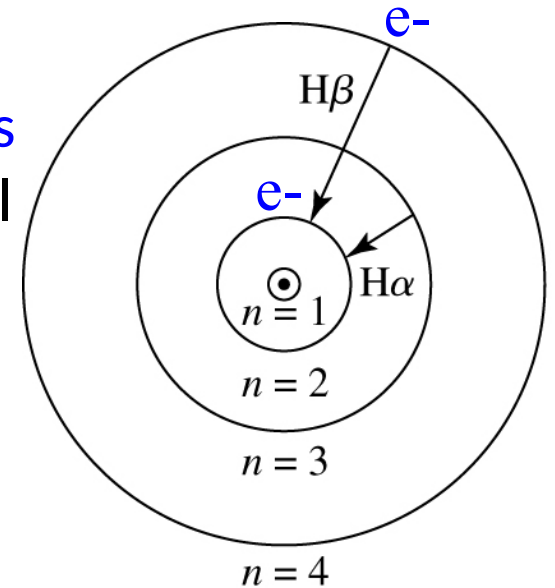
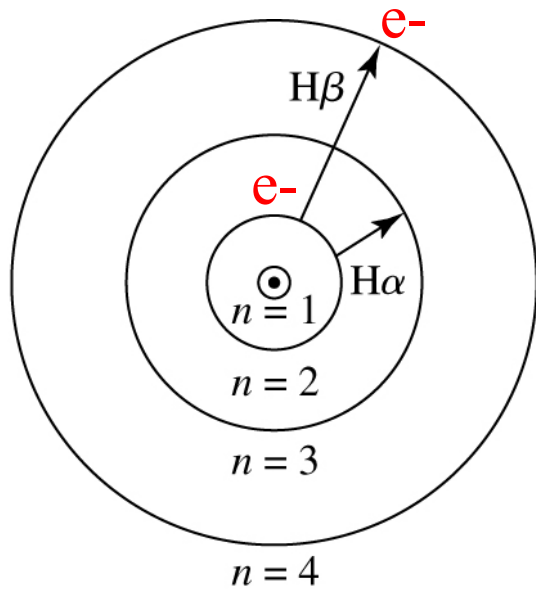
Usando o índice de refração $n_{ar} = \frac{c}{v_{ar}} = 1,000297$

$$\frac{\lambda_{ar}}{\lambda_{vácuo}} = \frac{v_{ar}}{c} = \frac{1}{n_{ar}} \Rightarrow \lambda_{ar} = \frac{\lambda_{vácuo}}{n_{ar}} = \frac{656,469}{1,000297} = 656,28 \text{ nm}$$

As leis de Kirchoff explicadas no contexto da revolução quântica

1ª. Um sólido ou gás denso a alta temperatura produz um espectro contínuo, descrito por $B_\lambda(T)$ com $\lambda_{\text{máx}}$ definido pela lei de Wien

2ª. Um gás quente e difuso produz **linhas brilhantes de emissão**, quando um elétron decai de um nível de energia mais alto para um mais baixo, emitindo um fóton de energia ΔE



3ª. Um gás frio em frente a uma fonte de espectro contínuo produz **linhas escuras de absorção** quando um elétron sobe para um nível de energia mais alto, após absorver um fóton com energia ΔE .

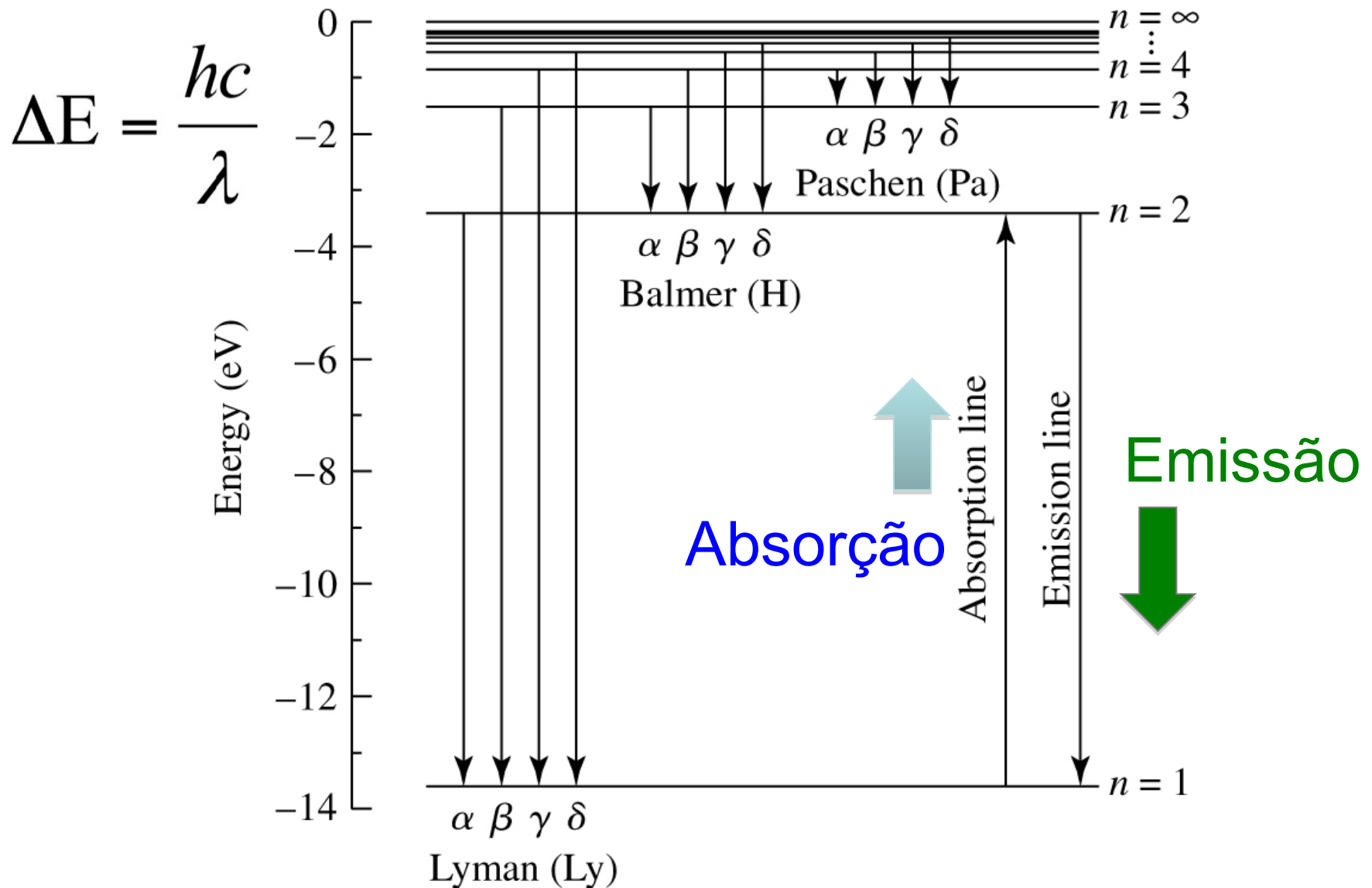
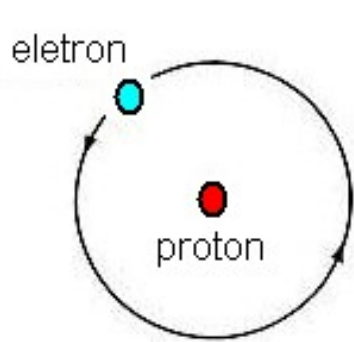
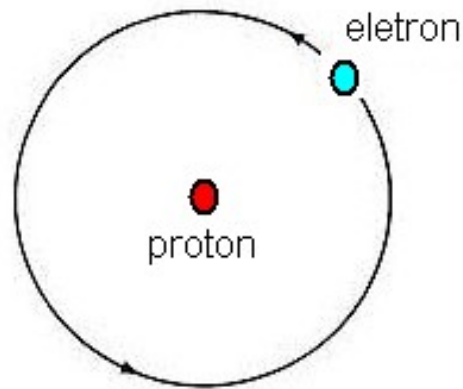


Fig. 5.7. Energy level diagram for the hydrogen atom showing Lyman, Balmer and Paschen lines.

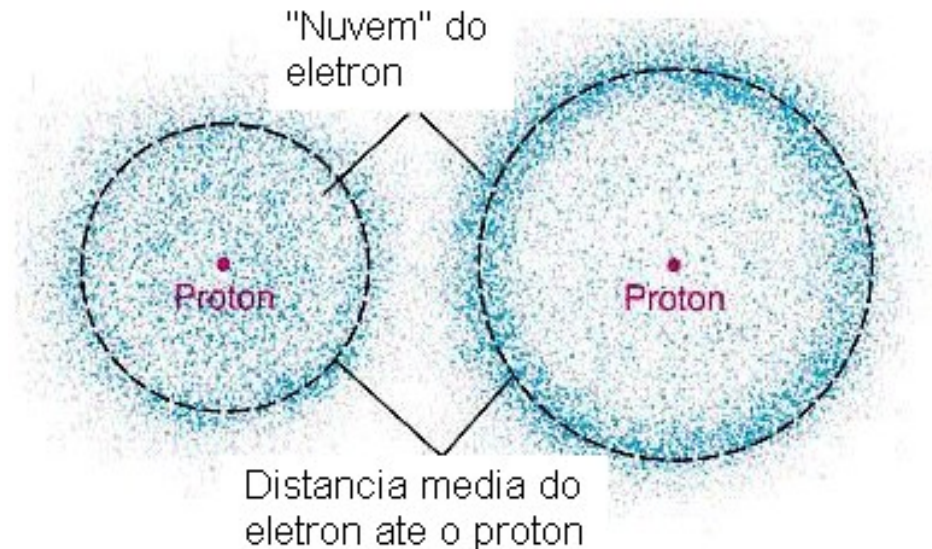


(a) estado fundamental



(b) estado excitado

A visão moderna do átomo de hidrogênio



(a) estado fundamental

(b) estado excitado

5.4 Mecânica Quântica e a dualidade partícula-onda

Frequência e comprimento de onda de de Broglie:
aplicação da dualidade partícula-onda na natureza.
Fótons carregam energia e momento:

$$\nu = \frac{E}{h} \quad \lambda = \frac{h}{p}$$

Toda a matéria exibe propriedades de **onda** em sua **propagação** e pode ser caracterizada por uma frequência e comprimento de onda

Exemplo: uma pessoa de 70 kg correndo a 3 m/s tem $\lambda = 3,2 \times 10^{-36} \text{ m}$, que é desprezível nas escalas atômicas e do dia-a-dia \rightarrow não sofre difração.



Louis de Broglie
(1892 – 1987)

Para um elétron: $\lambda = \frac{h}{p} = \frac{h}{m_e v} = 0.242 \text{ nm}$

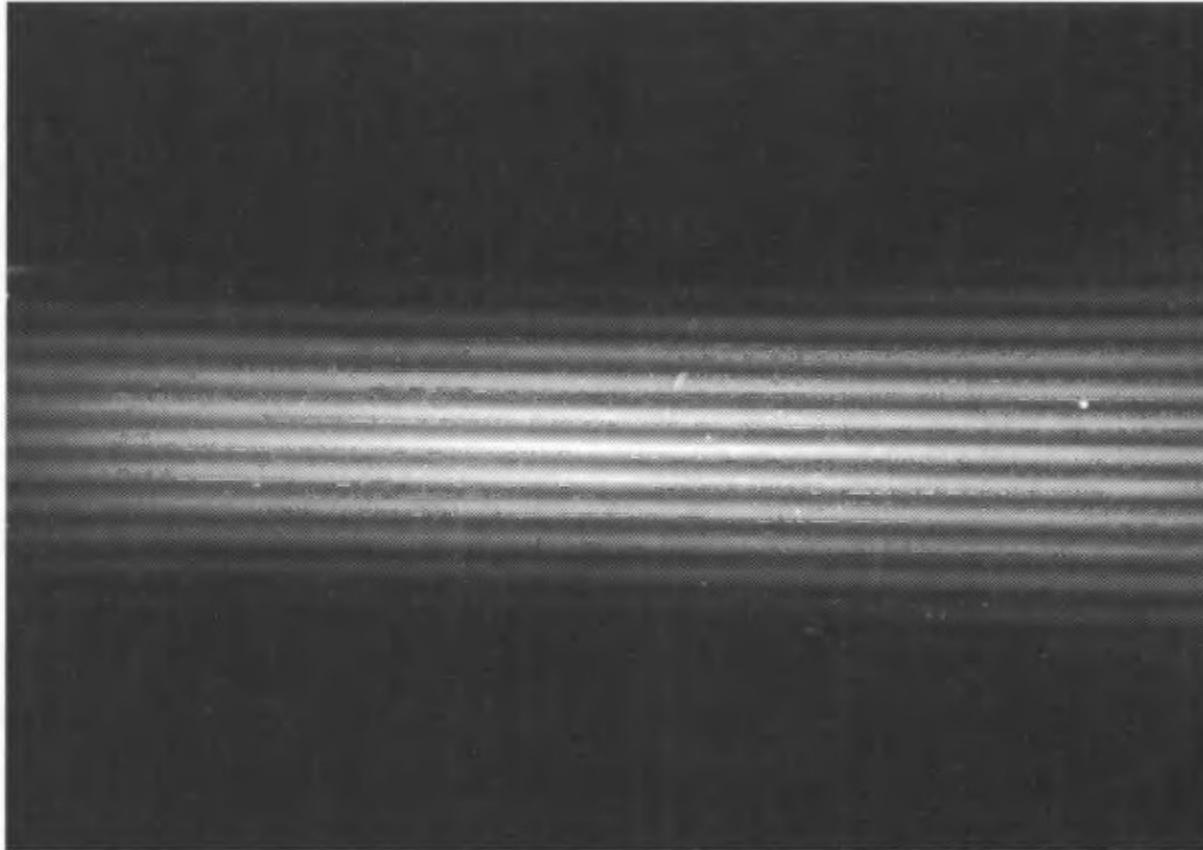
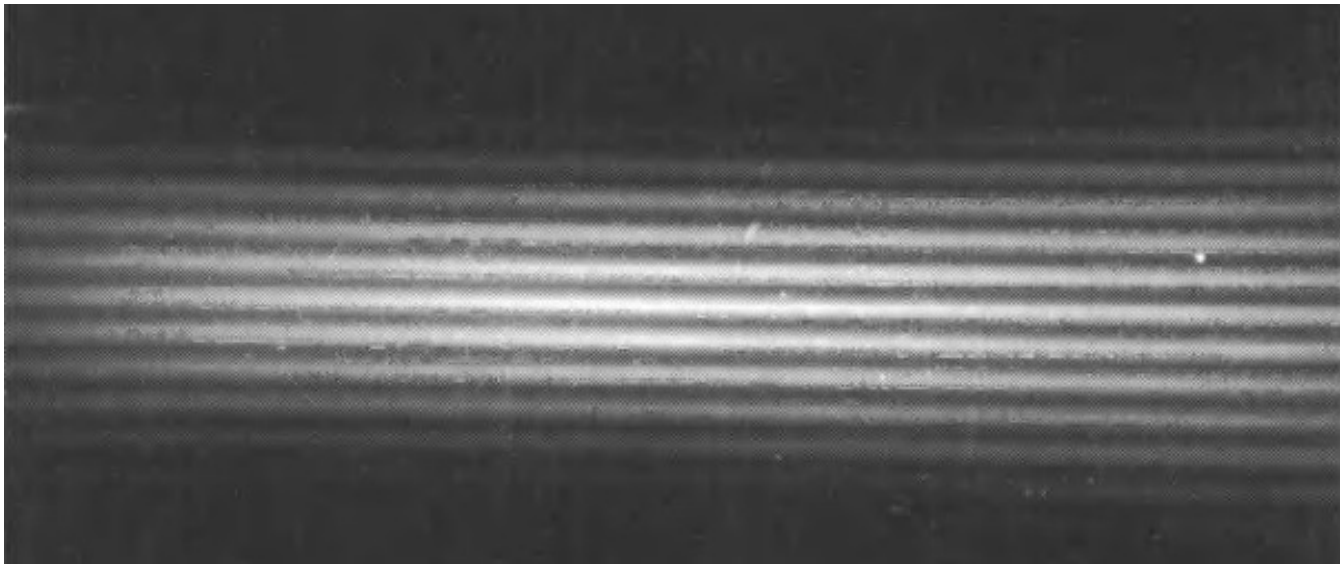


FIGURE 5.9 Interference pattern from an electron double-slit experiment. (Figure from Jönsson, *Zeitschrift für Physik*, 161, 454, 1961.)

A onda (de amplitude Ψ) não fornece informação sobre a posição de determinado elétron ou fóton, mas sim a “probabilidade” $|\Psi|^2$ de encontrar o elétron ou o fóton naquela posição.

No experimento de dupla fenda, fótons ou elétrons nunca são encontrados nas posições em que as ondas das duas fendas têm interferência destrutiva: $|\Psi_1 + \Psi_2|^2 = 0$



Princípio de Incerteza de Heisenberg



Werner
Heisenberg
(1901- 1976)

$$\Delta x \Delta p \geq \frac{\hbar}{2}$$

Incerteza
na posição

Incerteza no
momento

Número
muito
pequeno

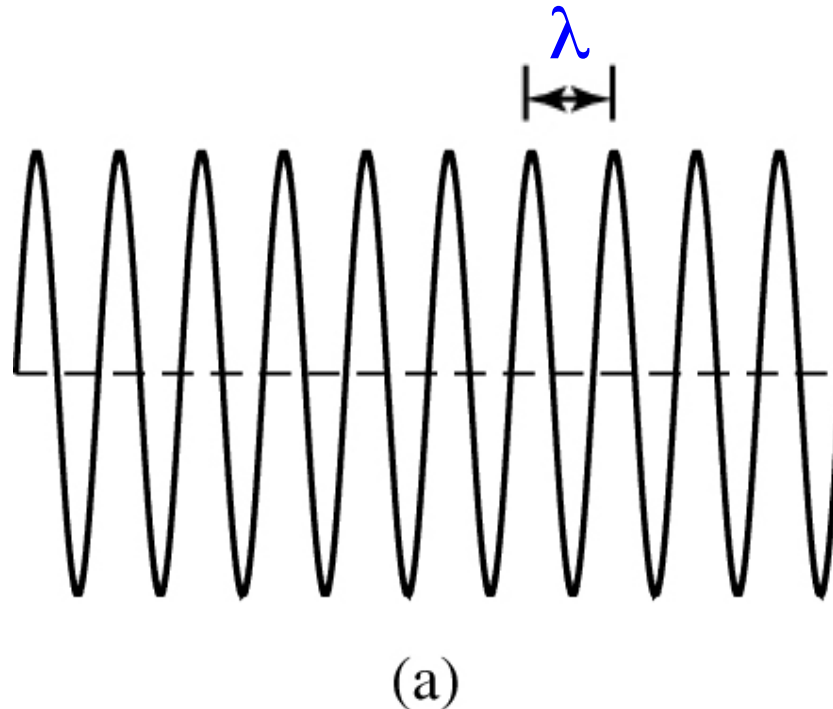
$$\hbar = \frac{h}{2\pi}$$

$$h = 6,626 \cdot 10^{-34} \text{ J} \cdot \text{s}$$

(c) Jorge Meléndez

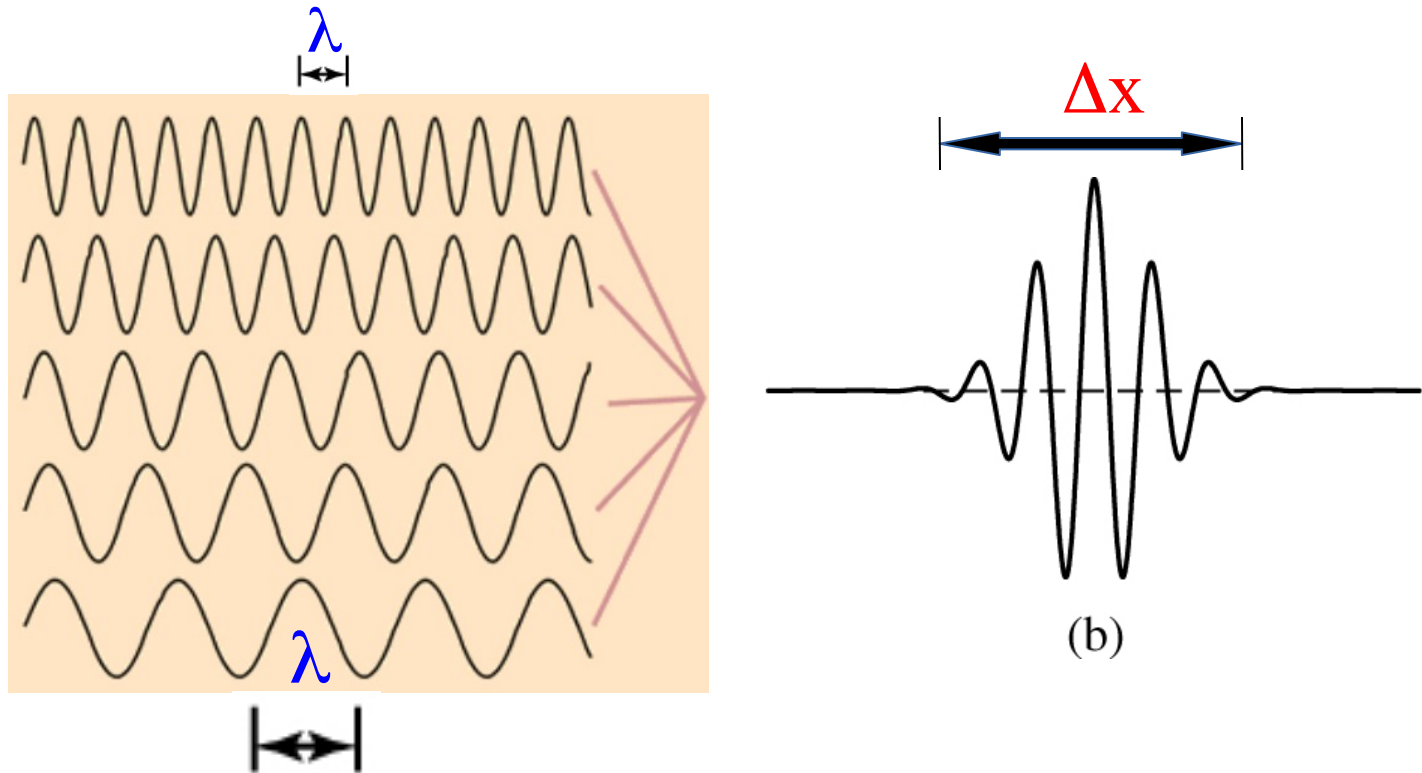
Princípio de Incerteza de Heisenberg

A onda Ψ na fig.(a) tem um λ definido, então o momento $p = h/\lambda$ da partícula é exatamente conhecido. Porém, no intervalo $\Delta x = \pm\infty$ há um grande número de picos igualmente altos \rightarrow a localização da partícula é incerta.



Princípio de Incerteza de Heisenberg

A fig. (b) mostra a combinação de várias ondas Ψ , resultando em zero exceto para um certo $\Delta x \rightarrow$ posição é melhor definida, mas devido à combinação de $\lambda \rightarrow p$ incerto



O Princípio de Incerteza de Heisenberg

$$\Delta x \Delta p \geq \frac{\hbar}{2}$$

pode ser aproximado por:

$$\Delta x \Delta p \approx \hbar$$

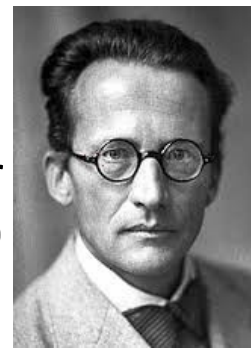
Uma relação similar existe entre a incerteza na medida da energia e o intervalo de tempo:

$$\Delta E \Delta t \approx \hbar$$

O conceito do princípio de incerteza será utilizado no Cap. 9 para definir a largura das linhas espectrais.

Equação de Schrödinger e o átomo da Mecânica Quântica

Erwin Schrödinger
(1877- 1961)



Para descrever os orbitais do elétron, Schrödinger (1926) propôs dois números quânticos a mais além do n : l e m_l , que descrevem o momento angular do átomo:

$$L = \sqrt{l(l+1)} \hbar$$

$$l = 2$$

$$|L| = \sqrt{6} \hbar$$

A componente L_z só pode assumir os valores $L_z = m_l \hbar$

$$m_l = -l, \dots, 0, \dots, +l$$

→ L pode ter $2l+1$ direções

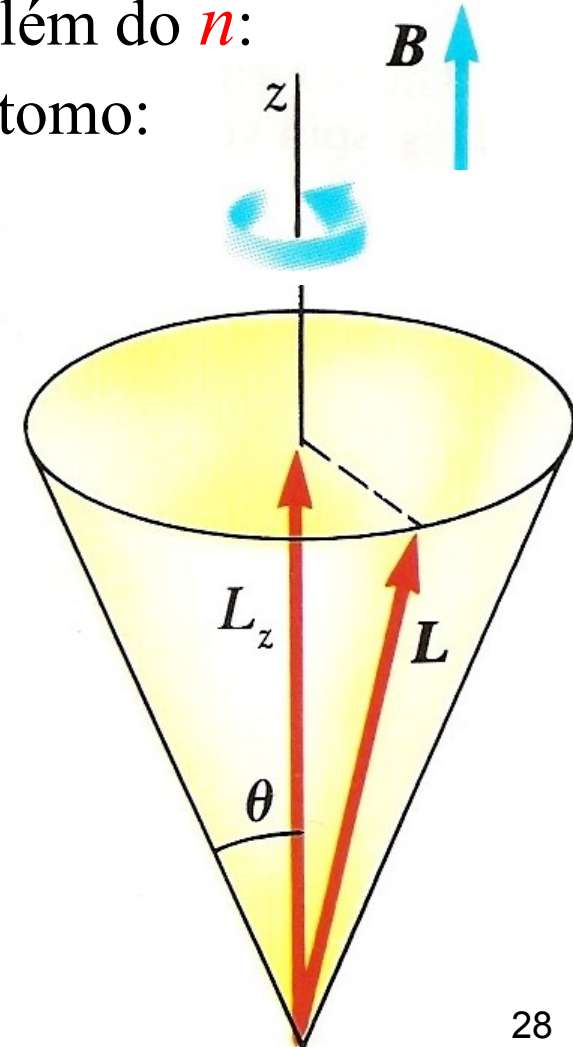
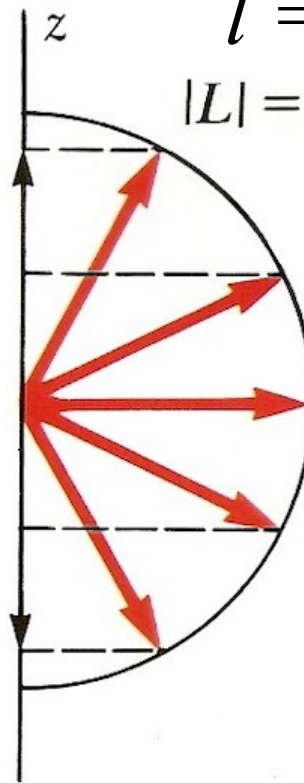
$$m_l = 2\hbar$$

$$m_l = \hbar$$

$$m_l = 0$$

$$m_l = -\hbar$$

$$m_l = -2\hbar$$



Números quânticos n, l, m_l

n : número quântico principal, que determina a energia

$n = 1, 2, 3 \dots$

l : número quântico de momento angular

$l = 0, 1, 2, 3, 4, \dots, (n-1) = s, p, d, f, g, \dots$

(ou seja, s é $l = 0$, p é $l = 1$, d é $l = 2$, etc.)

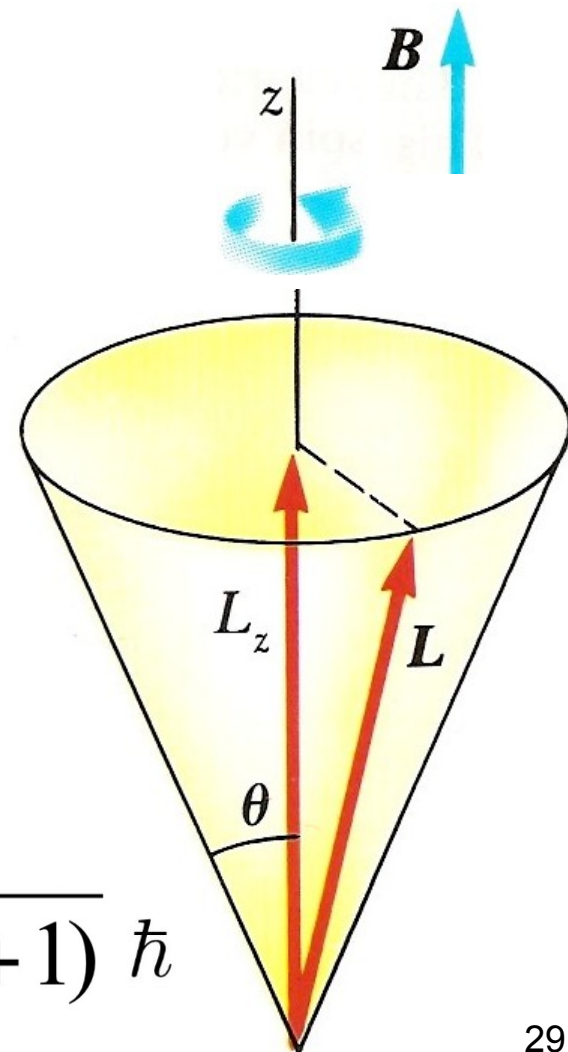
Componente L_z quantizada: $L_z = m_l \hbar$

m_l : número quântico magnético

$m_l = -l, \dots, -1, 0, +1, \dots, +l$

→ L pode ter $2l+1$ direções

$$L = \sqrt{l(l+1)} \hbar$$



Visualização espacial de orbitais para

n : número quântico principal

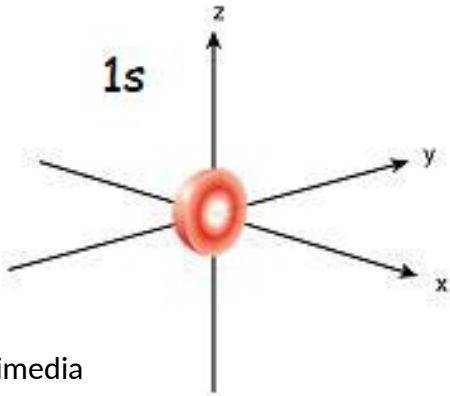
$l = 0, 1, 2, 3, \dots, (n-1) = s, p, d, f, \dots$

$m_l = -l, \dots, -1, 0, +1, \dots, +l$

$n = 1, 2, 3$ e $l = 0$

Como $l = 0$, o número quântico magnético é sempre zero, $m_l = 0$

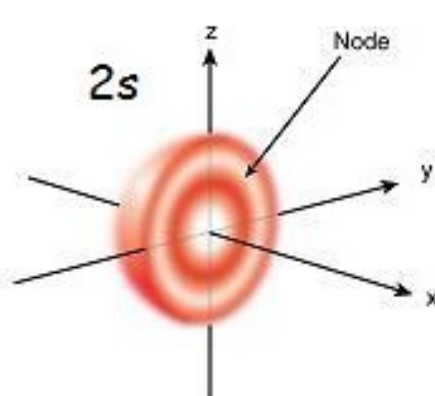
$n = 1, l = 0$
→ orbital 1s



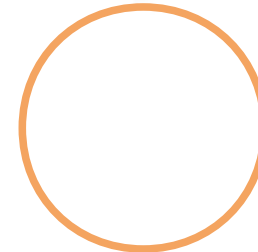
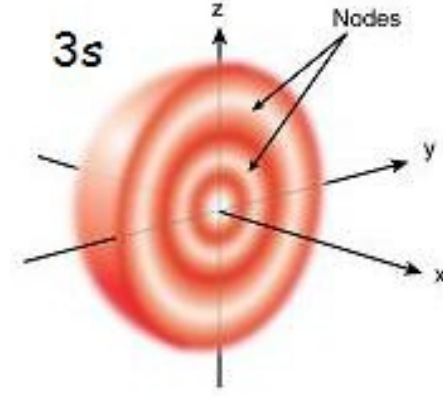
(c) Wikimedia



$n = 2, l = 0$
→ orbital 2s



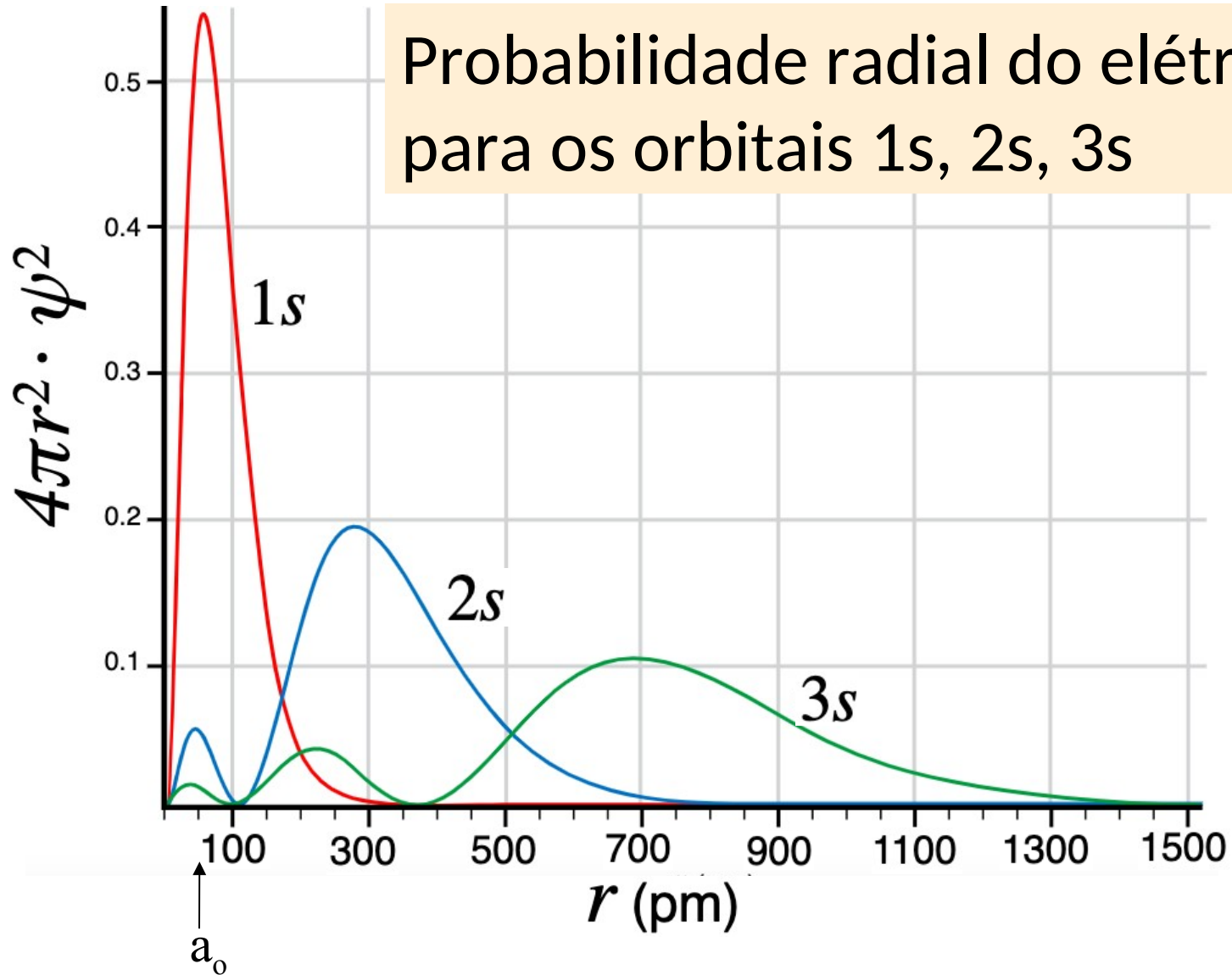
$n = 3, l = 0$
→ orbital 3s



Mecânica quântica
 ψ^2

Átomo de Bohr

Probabilidade radial do elétron para os orbitais 1s, 2s, 3s



1 pm = 10^{-12} m

Visualização espacial de orbitais

n : número quântico principal

$l = 0, 1, 2, 3, \dots, (n-1) = s, p, d, f, \dots$

$m_l = -l, \dots, -1, 0, +1, \dots, +l$

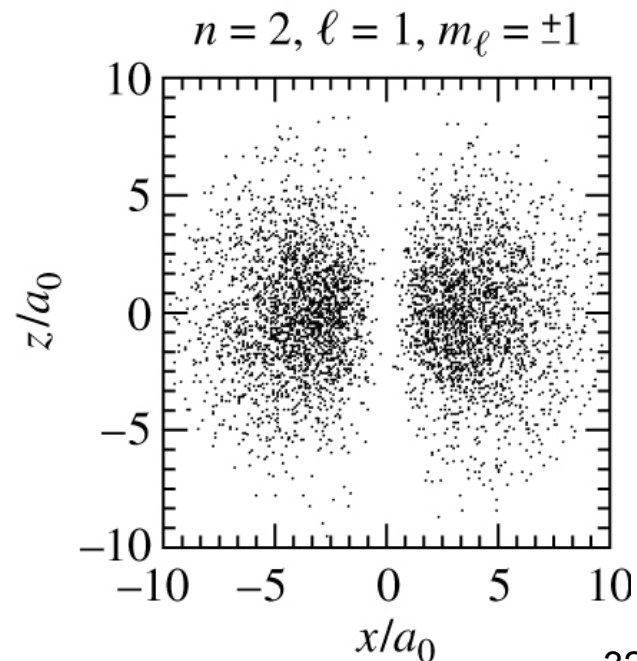
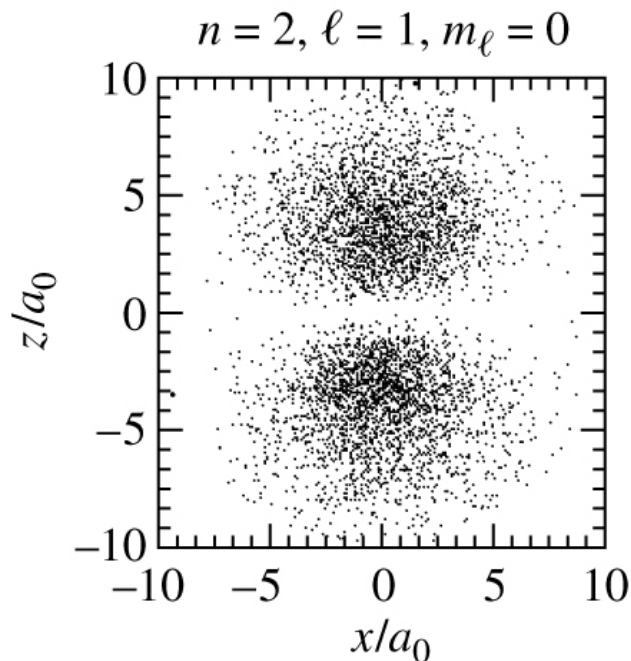
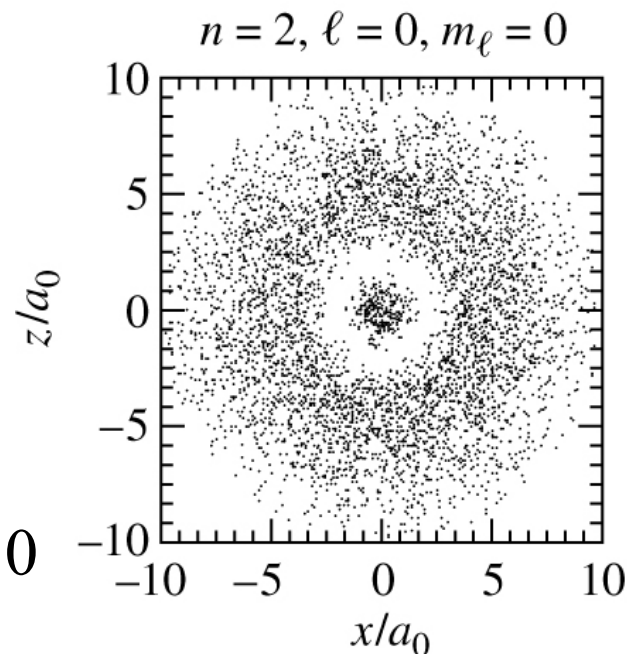
Exemplo: $(n = 2, l = 0) \rightarrow$ orbital 2s: $m_l = 0$

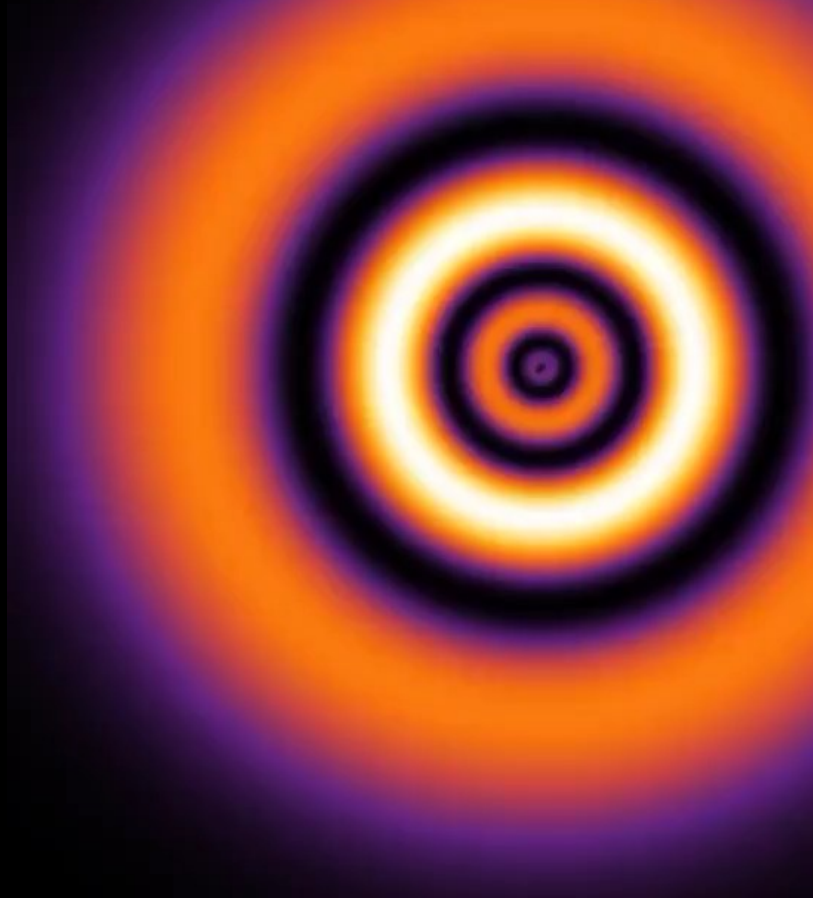
Exemplo:

$(n = 2, l = 1)$

\rightarrow orbital 2p

$m_l = -1, 0, +1$

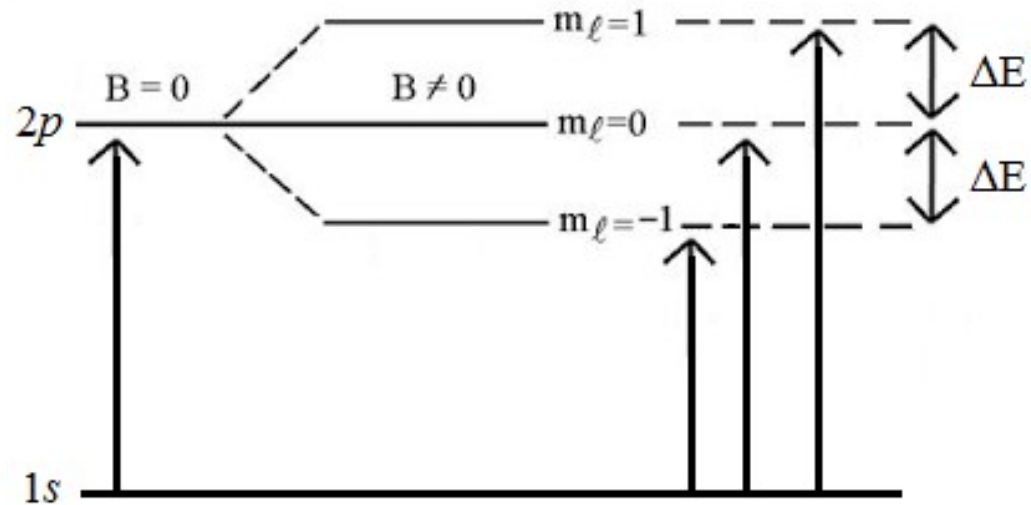




| n | l | m | |
|-----|-----|-----|---|
| — | --- | --- | 5 |
| — | --- | --- | 4 |
| ● | --- | --- | 3 |
| — | — | --- | 2 |
| — | — | --- | 1 |
| --- | ● | ● | 0 |

Probabilidade espacial de encontrar um elétron no átomo de hidrogênio. Os números quânticos n (energia total), l (momento angular), m_l (componente z do momento angular) definem os orbitais do elétron.

Diferentes orbitais, denominados pelos diferentes valores de l e m_l são chamados **degenerados** se eles têm o mesmo valor do número quântico principal $n \rightarrow$ mesma energia. Transições de elétrons para orbitais degenerados \rightarrow uma mesma linha espectral.



Mas são sensíveis ao **campo magnético** (B) \rightarrow orbitais degenerados com pequenas diferenças em $\Delta E \rightarrow$ divisão das linhas espectrais \rightarrow **Efeito Zeeman normal**, assumindo 3 possíveis valores de frequência:

$$\nu = \nu_0 \quad \text{e} \quad \nu_0 \pm \frac{eB}{4\pi\mu}$$

onde ν_0 é a frequência na ausência de B e μ é a massa reduzida

Exemplo: Campo magnético das nuvens interestelares

muito fraco $B \approx 2 \times 10^{-10} \text{ T}^*$

Radiotelescópios permitem medir a variação na polarização por meio das componentes Zeeman das linhas de absorção produzidas pelas nuvens de hidrogênio. Essas linhas apresentam-se misturadas (*blended*).

A variação na frequência é:
$$\Delta\nu = \frac{eB}{4\pi m_e} = 2,8 \text{ Hz}$$

e a variação total (de um lado ao outro da linha com *blend*) é $2 \times \Delta\nu = 5,6 \text{ Hz}$

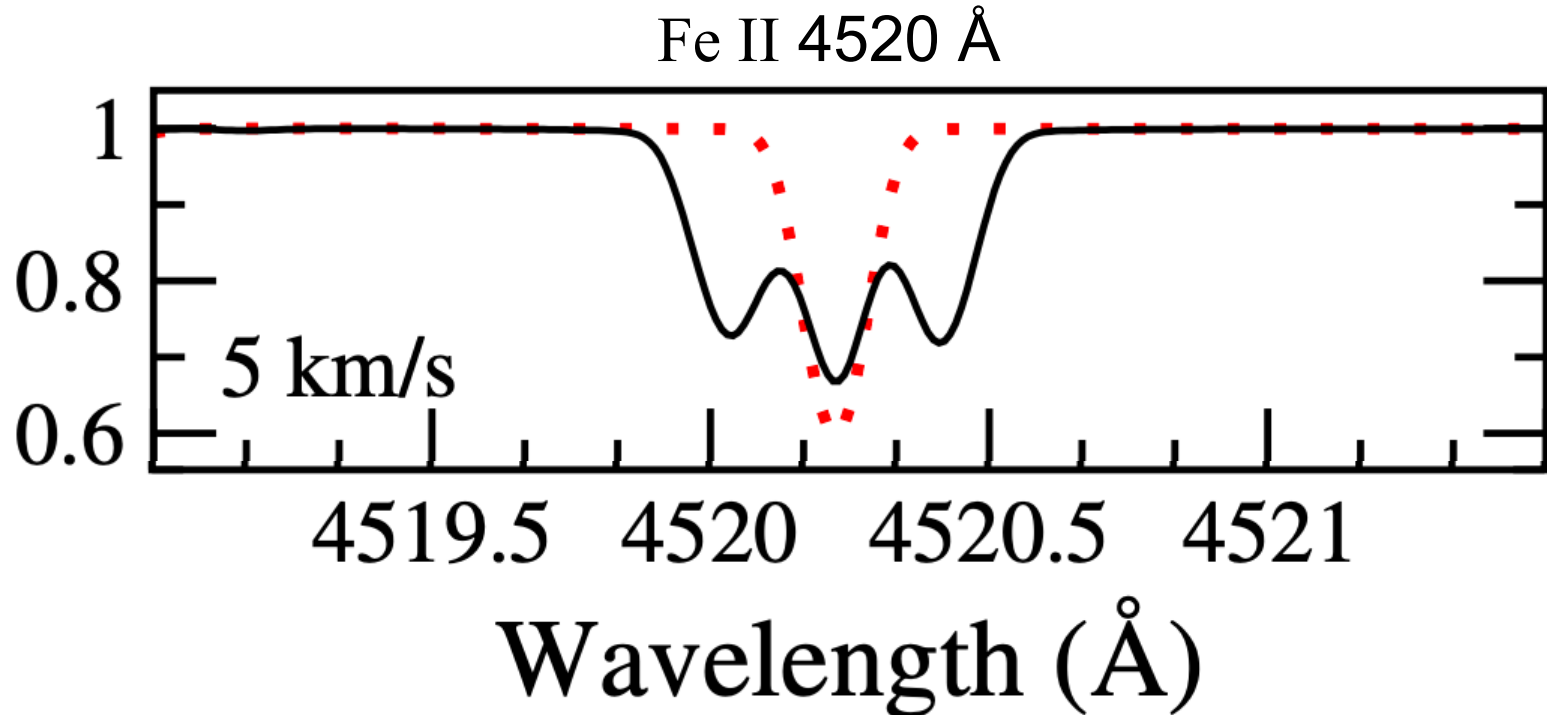
Como comparação, para a linha do hidrogênio medida em rádio $\lambda = 21\text{cm}$ é $\nu = 1,4 \times 10^9 \text{ Hz}$

(*) relação entre Tesla e Gauss: $1 \text{ G} = 10^{-4} \text{ T}$

Exemplo: espectro sintético de estrela de tipo A

----- sem a presença de campo magnético

— com forte campo magnético (15 kG)



Bailey 2014, A&A, 568, A38

Modelo da linha de FeII 4520 Å em estrela de tipo A com baixa velocidade de rotação (5 km/s). Notar que estrelas desse tipo têm velocidades de rotação muito maiores, o que pode dificultar a medição da intensidade do campo magnético.

O Spin e o Princípio de Exclusão de Pauli

Efeito Zeeman Anômalo causa uma divisão adicional das linhas devido ao **spin do elétron**, cujo momento angular é:

$$S = \sqrt{\frac{1}{2} \left(\frac{1}{2} + 1 \right)} \hbar = \frac{\sqrt{3}}{2} \hbar$$

A componente z é $S_z = m_s \hbar$

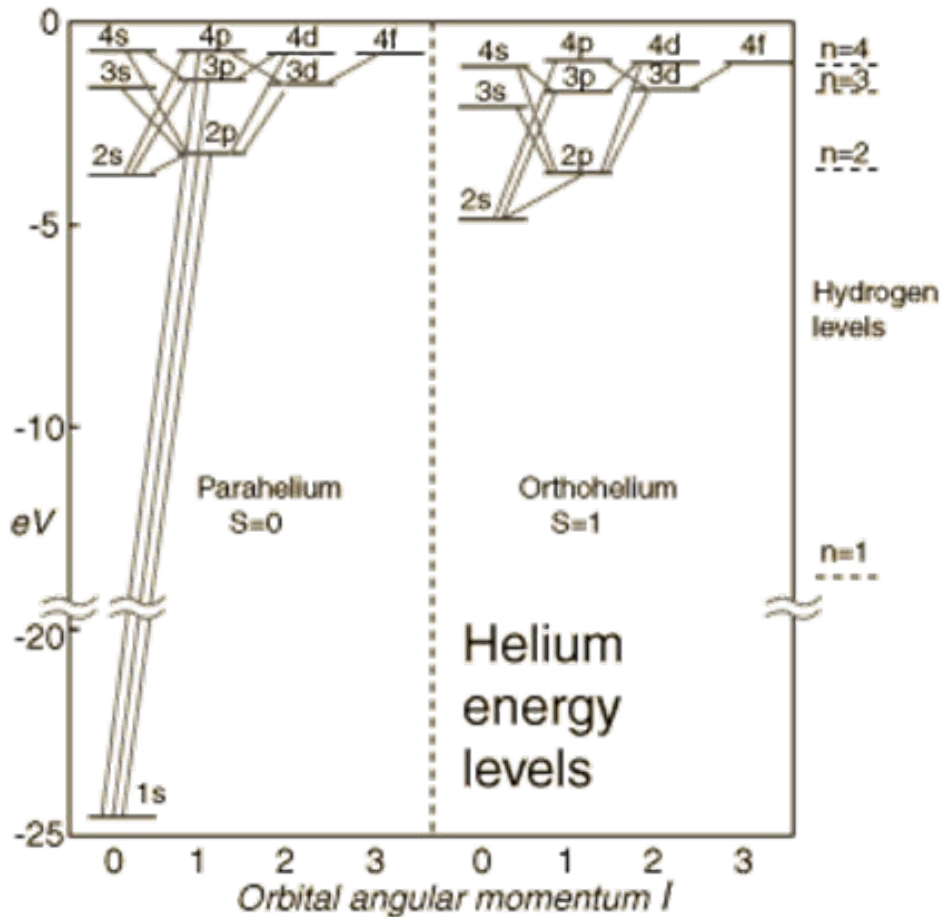
e os únicos valores possíveis do 4º número quântico são $m_s = \pm 1/2$

Princípio de exclusão de Pauli: *dois elétrons não ocupam um mesmo estado quântico* (não compartilham um mesmo conjunto de números quânticos).



Wolfgang Pauli
(1900– 1958)

Os espectros complexos dos átomos



Níveis eletrônicos do átomo de He.

<http://slideplayer.com/slide/5879841/>

O estado detalhado de cada elétron é descrito por todos os números quânticos:

n , l , m_l e m_s

Sómente são **permitidas** as transições que seguem algumas regras, como $\Delta l = \pm 1$.

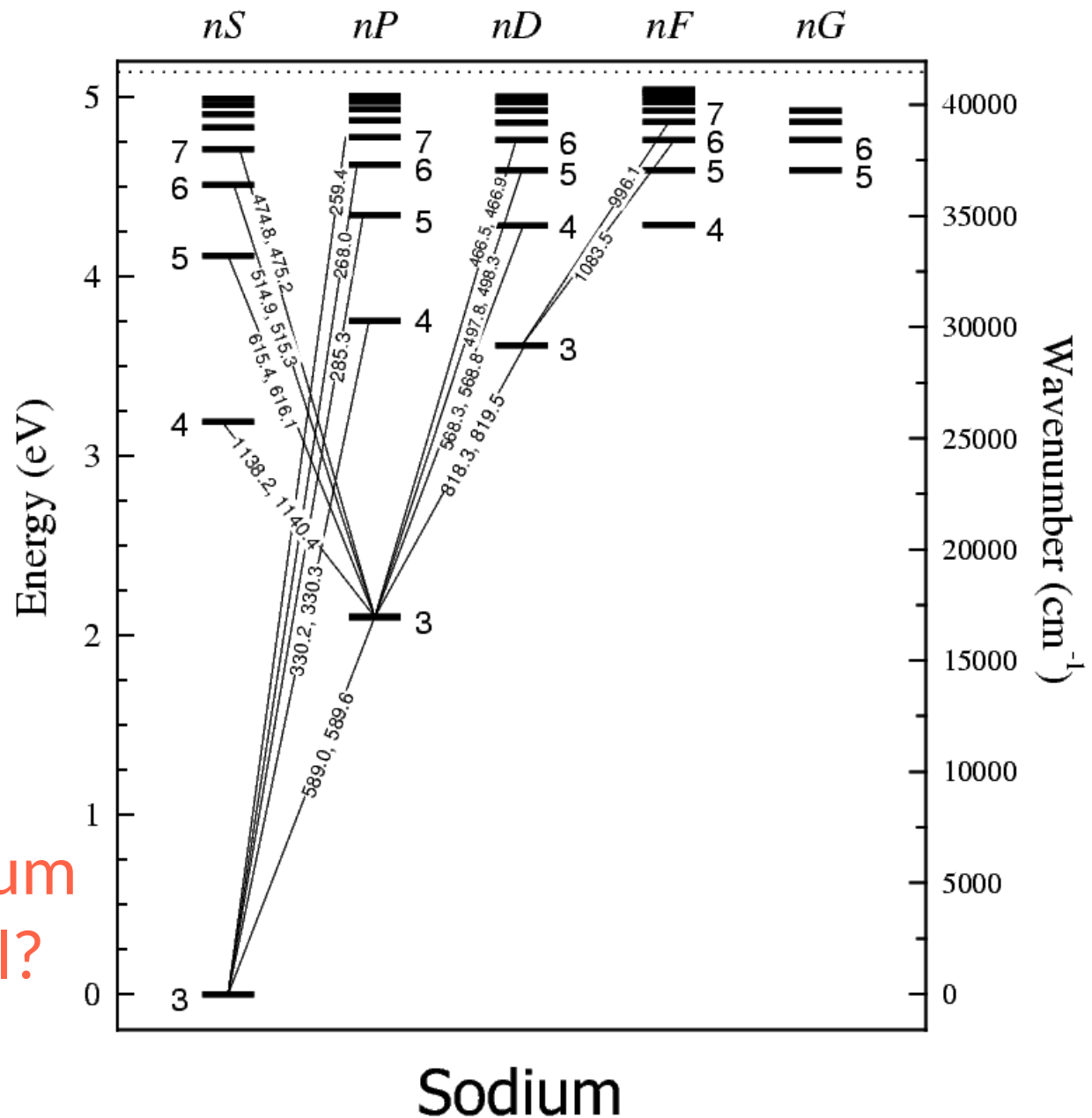
Transições fora dessas regras são chamadas **proibidas**, que podem ocorrer numa escala de tempo muito maior, em ambientes astrofísicos de muita baixa densidade.

Diagrama de níveis de energia

(term ou Grotrian diagram)

para o Na I

Qual a chance de ocupar (popular) um determinado nível?
Capítulo 8



Z : 11

Ioniz. Pot. : 5.138 eV

ground state : $1s^2 2s^2 2p^6 3s$



Paul Dirac (1928) combinou a equação de onda de Schrödinger com a relatividade de Einstein, desenvolvendo uma equação para o comportamento relativístico do elétron.

A solução da equação de Dirac:

- Naturalmente **previa o spin do elétron.**
- **Previsão da existência do pósitron (antipartícula do elétron)**

Dirac estendeu o princípio de exclusão de Pauli para uma família de partículas chamadas por ele de 'Férmions'. São partículas como o elétron, próton e nêutron, que tem spin de $\frac{1}{2}$, e no geral partículas com spin semi-inteiro.

Bósons são partículas com spin inteiro, e não cumprem o princípio de exclusão de Pauli.